

ОБЪЕДИНЕННЫЙ  
ИНСТИТУТ  
ЯДЕРНЫХ  
ИССЛЕДОВАНИЙ

Дубна

95-235

P7-95-235

В.К.Лукьянов, С.И.Федотов

О МЕХАНИЗМЕ ВЗАИМОДЕЙСТВИЯ  
КОНЕЧНОГО РАДИУСА В РЕАКЦИЯХ  
ПЕРЕДАЧИ НУКЛОНОВ С ТЯЖЕЛЫМИ ИОНАМИ

Направлено в журнал «Известия РАН, серия физическая»

1995

## Введение

Изучение прямых реакций передач нуклонов проводится обычно в рамках метода искаженных волн (МИВ) в так называемом приближении нулевого радиуса взаимодействия, которое оправдывает себя для дейтрона и вызывает серьезные возражения в случае более тяжелых падающих ядер, особенно тяжелых ионов. В последнем случае его используют вынужденно, чтобы избежать расчетов шестимерных интегралов в амплитуде реакции.

В последние годы реакции передач с тяжелыми ионами стали использовать для получения информации о структуре ядер, которую невозможно извлечь, пользуясь хорошо изученными ранее реакциями типа дейтронного срыва. В то же время для изучения экзотики типа ядерного "гало" и ядер на границах стабильности от теории прямых реакций с тяжелыми ионами требуется весьма высокий уровень точности, который невозможно достичь, оставаясь в рамках МИВ с приближением нулевого радиуса.

Проблема учета конечного радиуса взаимодействия исследовалась ранее с помощью метода, где, по существу, использовалась процедура разложения искаженных волн по радиусу падающей частицы, но она оказалась практически применимой только в реакциях с легкими ионами, в основном даже с дейтронами. Для тяжелых ионов больше подходит метод, где используется разложение в парциальный ряд характерного интеграла перекрытия с участием одночастичных функций передаваемого нуклона в начальном и конечном ядре. Однако при этом из-за усложнения конечных формул теряется исходная простота самого МИВ. И в том и в другом случае приходится прибегать к громоздким численным расчетам, что затрудняет понимание физики изучаемых реакций. Детальное изложение этих подходов дано, например, в [1].

Ниже предлагается довольно простой метод учета конечного радиуса взаимодействия, который основан на выборе элементарной трансцендентной функции, фитирующей внешний пик одночастичных функций передаваемого нуклона в начальном и конечном ядре [2,3]. С помощью таких функций удается вычислить в явном виде соответствующий интеграл перекрытия в МИВ конечного радиуса. В

своем практическом применении этот метод сводится к замене в обычной амплитуде МИВ нулевого радиуса одночастичной функции переданного нуклона в конечном ядре на полученную нами функцию перекрытия. При этом и та и другая функции известны в явном виде и содержат полюсные особенности на комплексной  $r$ -плоскости, что позволяет проводить, например, вычисления амплитуды реакции в высокоэнергетическом приближении (ВЭП) в аналитическом виде [4].

### Амплитуда реакции МИВ конечного радиуса

Рассмотрим прямую реакцию  $a + A \rightarrow b + B$ , где  $a = x + b$ ,  $B = A + x$ , а передаваемую частицу  $x$  будем для простоты считать бесспиновой. Тогда соответствующие сечение и амплитуда реакции в рамках МИВ имеют вид [1]:

$$\frac{d\sigma}{d\Omega} = \frac{\mu_a \mu_B}{(2\pi\hbar^2)^2} \frac{k_B}{k_a} \frac{1}{(2J_A + 1)(2J_a + 1)} \sum_{m_b, M_B; M_A, m_a} |\bar{T}_{bB, Aa}|^2, \quad (1)$$

$$\bar{T}_{bB, Aa} = J \int d\vec{r}'_\alpha d\vec{r}'_\beta \Psi_\beta^{(-)}(\vec{r}'_\beta) \langle \phi_b \phi_B | V(r_{bx}) | \phi_a \phi_A \rangle \Psi_\alpha^{(+)}(\vec{r}'_\alpha), \quad (2)$$

где

$$\vec{r}'_{Ab} = \vec{r}'_\beta + \frac{\mu_x}{\mu_B} \vec{r}'_{Ax} = \vec{r}'_\alpha - \frac{\mu_x}{\mu_a} \vec{r}'_{bx}, \quad (3)$$

а векторы  $\vec{r}'_\alpha$  и  $\vec{r}'_\beta$  соответствуют расстояниям до центрами тяжести сталкивающихся ядер в начальном  $a + A$  и конечном  $b + B$  каналах реакции. В случае реакции с тяжелыми ионами естественно предполагать, что

$$\frac{\mu_x}{\mu_B} \ll 1, \quad \frac{\mu_x}{\mu_a} \ll 1, \quad \vec{r}'_\alpha \simeq \vec{r}'_\beta = \vec{r}. \quad (4)$$

При этом из "треугольника векторов реакции" с вершинами  $b, x, A$  видно, что  $\vec{r}'_{bx}$  и  $\vec{r}'_{Ax}$  располагаются вдоль линии вектора  $\vec{r}'_{Ab}$  так, что можно считать

$$\vec{r}'_{Ab} = \vec{r} \uparrow \uparrow \vec{r}'_{Ax} = \vec{r}_2, \quad \vec{r} \downarrow \downarrow \vec{r}'_{bx} = \vec{r}_1. \quad (5)$$

В этом приближении оказывается  $r_1 + r_2 = r$ . И поскольку из-за сильного внутриядерного поглощения основной вклад в реакцию дает область вблизи поверхности каждого из ядер ( $r_1 \sim R_1$  и  $r_2 \sim R_2$ ), то основной вклад в интеграл по координате относительного движения будут давать  $r \sim R_1 + R_2 = R$ , где  $R$  — радиус ядероядерного взаимодействия. Далее представляем перекрытие внутренних волновых функций в виде

$$\langle \phi_b | \phi_a \rangle = \sum_{l_1, m_1} \gamma_{l_1}^a (j_b m_b l_1 m_1 | j_a m_a) \phi_{l_1}^a(r_1) Y_{l_1, m_1}(\vec{r}), \quad (6)$$

$$\langle \phi_B | \phi_A \rangle = \sum_{l_2, m_2} \gamma_{l_2}^B (J_A M_A l_2 m_2 | J_B M_B) \phi_{l_2}^B(r - r_1) Y_{l_2, m_2}^*(-\vec{r}), \quad (7)$$

где  $S_l = \gamma_l^2$  есть спектроскопический фактор. Подставляя (6), (7) в (2) и используя соотношение

$$Y_{l_1 m_1}(\hat{r}_1) Y_{l_2 m_2}^*(-\hat{r}_1) = (-1)^{m_2} \sum_{l, m} (-1)^l \sqrt{\frac{(2l+1)}{4\pi}} (l_1 0 l_2 | l 0) (l m l_1 m_1 | l_2 m_2) Y_{lm}^*(\hat{r}), \quad (8)$$

получим

$$\begin{aligned} T_{bB, Aa}^{bb} &= \sum_{l_1, l_2} (-1)^l \gamma_{l_2}^B \gamma_{l_1}^a \sqrt{\frac{(2l+1)}{4\pi}} (l_1 0 l_2 | l 0) \times \\ &\times \sum_{m, m_1, m_2} (-1)^{m_2} (l m l_1 m_1 | l_2 m_2) (J_A M_A l_2 m_2 | J_B M_B) (j_b m_b l_1 m_1 | j_a m_a) T_{lm}^{bb, Aa}, \end{aligned} \quad (9)$$

где амплитуда перехода

$$T_{lm}^{bb, Aa} = \int d\vec{r} \Psi_b^{(-)}(\vec{r}) \mathfrak{S}_l^{aB}(r) Y_{lm}^*(\hat{r}) \Psi_a^{(+)}(\vec{r}), \quad (10)$$

а интеграл перекрытия конечного радиуса

$$\mathfrak{S}_l^{aB}(r) = \int r_1^2 dr_1 \phi_{l_2}^B(r-r_1) V(r_1) \phi_{l_1}^a(r_1). \quad (11)$$

Подставляя (9)-(11) в (1) и суммируя по проекциям моментов передаваемой частицы и ядер начального и конечного состояний, получаем сечение реакции в виде

$$\frac{d\sigma}{d\Omega} = 4\pi \frac{\mu_a \mu_B}{(2\pi \hbar^2)^2} \frac{k_B 2J_B + 1}{k_a 2J_A + 1} \sum_{l, m} S_{l_1}^a S_{l_2}^B (l_1 0 l_2 0 | l 0)^2 \frac{|T_{lm}^{bb, Aa}|^2}{2l+1}. \quad (12)$$

Здесь не обозначено суммирование по  $l_1$  и  $l_2$ , поскольку, как обычно, рассматриваются переходы между состояниями с заданными квантовыми числами состояний ядер начального и конечного каналов реакции. Приближение нулевого радиуса взаимодействия получается из (11), если положить

$$V(r_1) \phi_{l_1}^a(r_1) = D_0 r_1^{-2} \delta(r_1), \quad (13)$$

где константа  $D_0$  выражается через энергию отделения частицы  $x$  в налетающем ядре  $a$ .

Из сравнения (10) и (13) видно, что учет взаимодействия конечного радиуса в реакциях однонуклонных передач с тяжелыми ионами фактически сводится к МИВ с нулевым радиусом при замене функции связанного состояния нуклона  $\phi_{l_2}^B(r)$  на функцию перекрытия (11). Эта последняя определяется интегралом от одночастичного потенциала среднего поля падающего ядра  $a$ , его нуклонной функции и волновой функции этого же нуклона, но уже в конечном ядре  $B$ .

## Одночастичные функции передаваемого нуклона в реакциях с тяжелыми ионами

Задача теперь состоит в расчете интегралов перекрытия  $\Phi_l^{aB}(r)$ , в которые входят две одночастичные функции передаваемого нуклона. Из-за периферического характера реакции нам нужно брать эти функции в основном в области поверхности каждого из ядер  $a$  и  $B$ . Для многоузловых состояний это есть внешние пики одночастичных функций. Для изучения поведения подобных функций в области ядерной поверхности были рассчитаны в нечетных ядрах нейтронные радиальные функции с  $l = 0, 1, 2$  и  $3$  в поле потенциала Вудса-Саксона со спин-орбитальным взаимодействием. Параметры потенциала были взяты из работ [5]. Как правило, в случае орбит с энергиями связи от нескольких мегаэлектронвольт до  $\sim 10$  МэВ радиальные волновые функции имеют максимум в точке  $R_l$  в области ядерной поверхности, при этом  $R_l$  обычно несколько меньше величины параметра радиуса ядра  $R$  в потенциале Вудса-Саксона. Это хорошо видно на рис.1, где показана зависимость  $\Delta R = R - R_l$  от энергии связи нуклона в ядре.

В работах [2,3] было показано, что внешние пики одночастичных волновых функций удобно параметризовать функцией вида

$$\phi_l(r) = c \frac{1}{r} \frac{df_{SF}}{dr}, \quad (14)$$

где  $f_{SF}$  - симметризованная ферми-функция:

$$f_{SF} = \frac{\sinh \frac{R_l}{a}}{\cosh \frac{R_l}{a} + \cosh \frac{r}{a}} \quad (15)$$

с параметром "ширины" внешней полуволны  $a$ , который определяется согласно асимптотике функции (14) на основе энергии отделения нуклона из оболочки  $l$  в соответствующем ядре:

$$\phi_l(r) \sim \frac{1}{r} \exp\left(-\frac{r}{a}\right), \quad a^{-1} = \sqrt{\frac{2\mu_x |\epsilon_l|}{\hbar^2}}, \quad (16)$$

а  $c = \sqrt{ba}$  - константа, определяемая из нормировки (14) (см. [2,3]). Таким образом, эта параметризация есть попытка описать поведение пика на основе только одного известного факта - энергии связи уровня. Ее удобно использовать для проведения качественного анализа и получения простых аналитических оценок сечений однонуклонных передач в МИВ с нулевым радиусом взаимодействия. Однако она недостаточно точна, если ставить вопрос о разработке метода учета конечного радиуса взаимодействия. Действительно, в таком подходе не удастся с достаточной точностью описать поведение функции в области поверхности ядра, что видно из рис.2, где сплошной кривой изображен численно найденный ход внешнего пика волновой функции состояния  $2S_{1/2}$  в ядре  $^{29}Si$  (кривая 1), а кривая 2 показывает ее параметризацию с помощью (14). Далее в таком подходе не учитывается возможный многоузловой характер функции связанного состояния. Чтобы устранить эти

недостатки, введем более удобный способ параметризации внешнего пика, выбирая в качестве базисных функции вида

$$\bar{\phi}_l(r) = \bar{A}_n \frac{1}{r} \cosh^{-2}\left(\frac{r - R_l}{2a_n}\right) \approx \bar{A}_n \frac{1}{r} \exp\left(\frac{R_l}{a_n}\right) \exp\left(-\frac{r}{a_n}\right), \quad (17)$$

где нормировочная константа  $\bar{A}_n$  теперь зависит от  $n$  - числа полуволи реальной функции нуклона внутри потенциальной ямы ядра. И поскольку функция вида (17) весьма быстро спадает по мере отступления от максимума каждой полуволи, то для определения  $\bar{A}_n$  можно использовать условие нормировки:

$$1 = n \bar{A}_n^2 \int_0^\infty dr \cosh^{-4}\left(\frac{r - R_l}{2a}\right). \quad (18)$$

Здесь учитывается тот факт, что согласно численным расчетам абсолютные значения максимумов и ширины каждой из полуволи функции приблизительно одинаковы. Интеграл (18) берем, учитывая, что основной вклад в него вносит область  $0 \leq |r - R_l| \leq 2a$ . В результате получаем

$$\bar{A}_n^2 = \frac{1}{2,5an}. \quad (19)$$

В целом же внешний пик волновой функции одночастичного состояния представим в виде суммы функций вида (17):

$$\phi_l(r) = \sum_k A_k \frac{1}{r} \cosh^{-2}\left(\frac{r - R_l}{2a_k}\right). \quad (20)$$

В таком подходе параметры  $A_k$  и  $a_k$  находятся методом наименьших квадратов подгонкой (20) под внешний пик рассчитанной волновой функции. При этом необходимо следить, чтобы по крайней мере в одном из слагаемых параметр  $a_k$  соответствовал истинной асимптотике (16), отвечающей энергии связи нуклона в заданном состоянии. Пример такой параметризации пика показан на рис. 2 кривой 3, когда в сумме (20) было взято только два члена. Кривая 4 соответствует параметризации с тремя членами в сумме (20), которую мы здесь приводим в явном виде:

$$\phi_{S_{1/2}}(r) = \frac{0,176}{r} \cosh^{-2}\left(\frac{r - 3,9}{2 \cdot 1,635}\right) + \frac{0,26}{r} \cosh^{-2}\left(\frac{r - 3,9}{2 \cdot 1,03}\right) + \frac{0,14}{r} \cosh^{-2}\left(\frac{r - 3,9}{2 \cdot 0,425}\right). \quad (21)$$

Видно, что теперь поведение пика одночастичной радиальной волновой функции параметризуется уже достаточно хорошо. При этом асимптотика функции определяется только первым членом, в то время как остальные формируют поведение пика в "активной зоне" взаимодействия при  $r \sim R_l \div R_l + 2a$  и быстро затухают при выходе на асимптотику. Интересно также заметить, что на рисунке нет видимого различия в поведении кривых 3 и 4, однако, как мы увидим в дальнейшем, эта неразличимая на глаз разница оказывается существенной в поведении сечений реакции передачи.

## Интеграл перекрытия конечного радиуса

Получим аналитическое выражение для интеграла перекрытия (11). Однозначные радиальные волновые функции в начальном и конечном канале возьмем в виде (20), а потенциал  $V$  в виде потенциала Вудса-Саксона. Учтем периферический характер реакции, когда  $r_1 \approx R_1, r_2 \approx R_2, r \approx R_1 + R_2$ . Тогда интеграл перекрытия можно описать как

$$\begin{aligned} \mathfrak{I}_l^{aB}(r) &= - \sum_{k,n} A_k A_n \int dr_1 \frac{r_1}{r - r_1} \frac{1}{\cosh^2(\frac{r_2 - R_{l2}}{2a_k})} \frac{1}{\cosh^2(\frac{r_1 - R_{l1}}{2a_n})} \frac{V_0}{1 + \exp(\frac{r_1 - R_0}{a_0})} \approx \\ &\approx -V_0 \frac{R_1}{R_2} \sum_{k,n} \frac{A_k A_n}{\cosh^2 \frac{Z}{2a_k}} I_{l1}, \end{aligned} \quad (22)$$

где

$$I_{l1} = \int dr_1 \frac{1}{\cosh^2(\frac{r_1 - R_{l1}}{2a_k})} \frac{1}{\cosh^2(\frac{r_1 - R_{l1}}{2a_n})} \frac{1}{1 + \exp(\frac{r_1 - R_0}{a_0})}. \quad (23)$$

Здесь обозначено  $Z = r - R_l$ , где  $R_l = R_{l1} + R_{l2}$  есть радиус взаимодействия в соответствующем канале реакции. И поскольку основной вклад в интеграл дают области  $r \sim R_l, r_{1,2} \sim R_{l1,2}$ , то при выводе (23) мы использовали приближение

$$\cosh^2(\frac{r_2 - R_{l2}}{2a_k}) = \cosh^2(\frac{r_1 - R_{l1} - Z}{2a_k}) \approx \cosh^2(\frac{r_1 - R_{l1}}{2a_k}) \cosh^2(\frac{Z}{2a_k}). \quad (24)$$

Для вычисления интеграла  $I_{l1}$  введем функцию

$$G_{l1}(r_1) = \int_0^{r_1} dr \frac{1}{\cosh^2(\frac{r - R_{l1}}{2a_k})} \frac{1}{\cosh^2(\frac{r - R_{l1}}{2a_n})}. \quad (25)$$

Интегрируя по частям, преобразуем (23) к виду

$$I_{l1} = \frac{1}{a_0} \int_0^\infty dr_1 G_{l1}(r_1) \frac{\exp(\frac{r_1 - R_0}{a_0})}{(1 + \exp(\frac{r_1 - R_0}{a_0}))^2}. \quad (26)$$

Далее, поскольку обычно  $R_0 \gg a_0$ , то для достаточно малых  $a_0$  можно положить [6]

$$\begin{aligned} \frac{d}{dr_1} \left( \frac{1}{1 + \exp(\frac{r_1 - R_0}{a_0})} \right) &= - \frac{1}{a_0} \frac{\exp(\frac{r_1 - R_0}{a_0})}{(1 + \exp(\frac{r_1 - R_0}{a_0}))^2} \approx \\ &\approx -\delta(r_1 - R_0) - 1,645 a_0^2 \delta^{(2)}(r_1 - R_0) - 1,894 a_0^4 \delta^{(4)}(r_1 - R_0) - \dots \end{aligned} \quad (27)$$

Если теперь пренебречь вкладом в (26) высших членов разложения (27), ограничиваясь лишь первым членом, то получим

$$I_{l1} = G_{l1}(R_0) = \int_0^{R_0} dr \frac{1}{\cosh^2(\frac{r - R_{l1}}{2a_k})} \frac{1}{\cosh^2(\frac{r - R_{l1}}{2a_n})}. \quad (28)$$

Обычно в реакциях однонуклонных передач  $a_k \approx a_n = a$ . В этом случае, учитывая, что  $R_0 - R_l$  мало, получаем

$$I_{l_1} \approx 2a \left( \frac{1}{3} th^3 \frac{R_{l_1}}{2a} - th \frac{R_{l_1}}{2a} \right). \quad (29)$$

Таким образом, выражение для интеграла перекрытия принимает вид

$$\mathfrak{I}_l^{aB}(r) \approx N \sum_k \frac{A_k}{\cosh^2 \frac{r}{2a_k}}, \quad (30)$$

где

$$N = -2aV_0 \frac{R_{l_1}}{R_2} \left( \frac{1}{3} th^3 \frac{R_{l_1}}{2a} - th \frac{R_{l_1}}{2a} \right) \sum_n A_n. \quad (31)$$

Подставляя (30) в (10), получим для амплитуды реакции передачи выражение, совпадающее по форме с тем, что имеет место в случае нулевого радиуса взаимодействия:

$$T_{lm}^{bB, Aa} = N \sum_k A_k \int d\vec{r} \Psi_{\beta}^{(-)*}(\vec{r}) \frac{Y_{lm}^*(\vec{r})}{\cosh^2 \frac{r-R_l}{2a_k}} \Psi_{\alpha}^{(+)}(\vec{r}). \quad (32)$$

Дальнейшие вычисления аналогичны расчетам амплитуды в рамках МИВ с нулевым радиусом взаимодействия. Ранее подобные расчеты для реакций однонуклонных передач с тяжелыми ионами проводились нами в работах [2,3]. При этом использовался метод высокоэнергетического приближения [4], когда  $E > V, kR \gg 1$ , что позволяло получать аналитические выражения для амплитуды и сечения реакции. При высоких энергиях кривые угловых распределений имели простой вид экспоненциально спадающих функций, а при сравнительно низких энергиях появлялась характерная дифракционноподобная картина.

Здесь мы воспользуемся тем же методом ВЭП. Как и в предыдущем рассмотрении [2,3], подынтегральное выражение в (32) имеет те же самые особенности: полюса в точках  $r_{\pm} = R_l \pm i\pi a_k(2m+1)$ ,  $m = 0, 1, 2, \dots$  на комплексной  $r$ -плоскости. Отличие же (32) от предыдущих расчетов состоит в том, что вклад в амплитуду реакции вносит сумма членов по  $k$ , каждый из которых дает свою амплитуду со своими особенностями поведения, в частности, наклоном углового распределения в зависимости от параметра  $a_k$ . И второе – абсолютная величина вклада определяется здесь фактором  $NA_k$ . Напомним, что раньше соответствующий нормировочный фактор не зависел от числа осцилляций одночастичной функции связанного состояния.

### Конкретные расчеты и заключение.

В рамках предложенного метода параметризации внешних пиков одночастичных волновых функций с учетом конечного радиуса взаимодействия рассчитано дифференциальное сечение (12) передачи нуклона в реакции  $^{18}O + ^{28}Si \rightarrow ^{17}O + ^{29}Si$  при энергии  $E = 352$  МэВ. Эти результаты показаны на рис.3 сплошной линией с  $k = 3$ . Одночастичные волновые функции состояний  $1d_{5/2}$  в  $^{18}O$  и  $2S_{1/2}$  в  $^{29}Si$



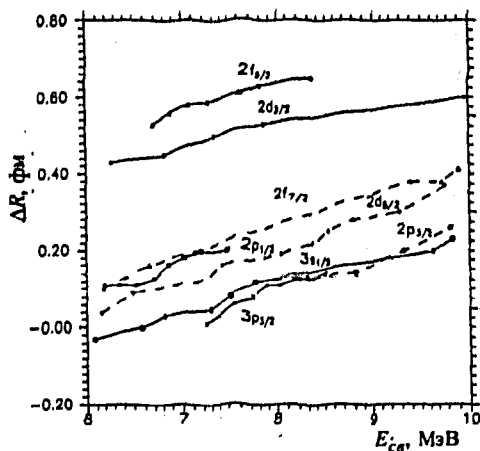


Рис.1. Зависимость  $\Delta R = R - R_l$  от энергии связи нуклона для разных ядерных оболочек.  $R$  — радиус потенциальной ямы Вудса-Саксона,  $R_l$  — положение максимума внешнего пика волновых функций. Значки на кривых соответствуют определенному атомному номеру  $A$

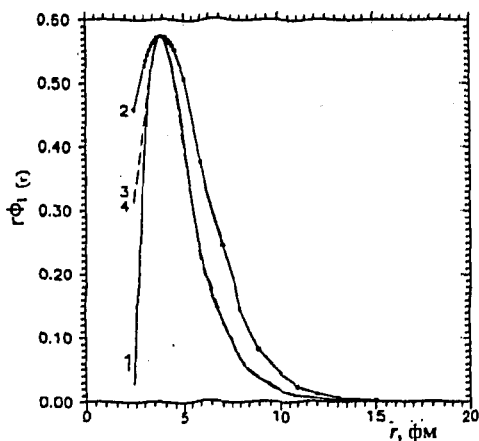


Рис.2. Параметризация поведения внешнего пика состояния  $2S_{1/2}$  в ядре  $^{29}\text{Si}$  — сплошная кривая 1 — с помощью формулы (14) — кривая 2 — и формулы (20) — кривая 3 с  $k = 2$ , кривая 4 с  $k = 3$

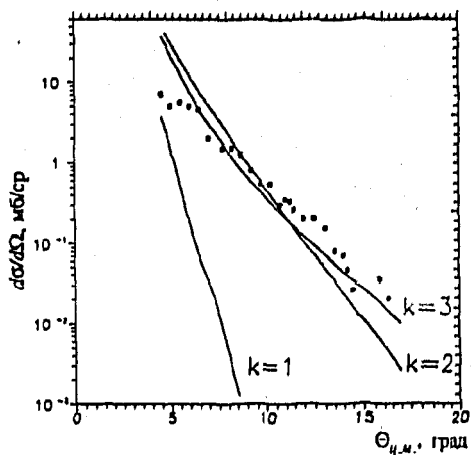


Рис.3. Угловые распределения реакции срыва нейтрона  $^{18}\text{O} + ^{28}\text{Si} \rightarrow ^{17}\text{O} + ^{29}\text{Si}$ ;  $E=352$  МэВ. Кривые – теоретические расчеты с параметризацией (14) с одним ( $k=1$ ) и двумя ( $k=2$ ) и тремя ( $k=3$ ) членами соответственно. Квадратики – экспериментальные данные из [7]

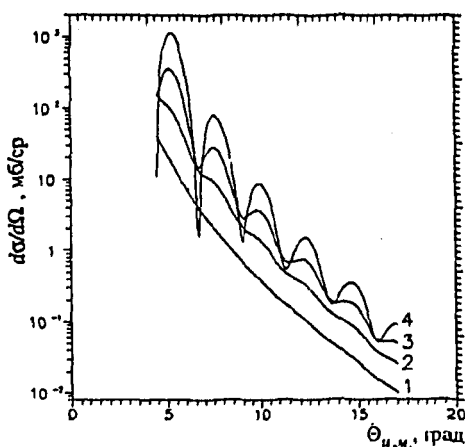


Рис.4. Влияние глубины мнимой части потенциала Вудса-Саксона  $W_0$  на форму и абсолютную величину сечения реакции  $^{18}\text{O} + ^{28}\text{Si} \rightarrow ^{17}\text{O} + ^{29}\text{Si}$ ;  $E=352$  МэВ: 1 –  $W_0 = 15$  МэВ; 2 –  $W_0 = 10$  МэВ; 3 –  $W_0 = 7$  МэВ; 4 –  $W_0 = 5$  МэВ

были получены решением волнового уравнения с потенциалом Вудса-Саксона со следующими параметрами:  $r_0 = 1,27$  фм,  $a = 0,07$  фм,  $U_0 = 53$  МэВ (для  $^{18}O$ ) и  $48$  МэВ (для  $^{29}Si$ ),  $\kappa = 0,856$  фм $^{-2}$  ( $^{18}O$ ) и  $0,830$  фм $^{-2}$  ( $^{29}Si$ ). Для расчета интеграла перекрытия конечного радиуса взаимодействия пик волновой функции  $2S_{1/2}$  в  $^{29}Si$  параметризовался в виде (21). Аналогично параметризовался внешний пик сечения  $1d_{5/2}$  в  $^{18}O$  с  $A_k = (0,101; 0,467; 0,107)$  и  $a_k = (1,561; 0,658; 1,592)$ . При расчете сечений  $S$ -факторы считались равными 1.

Для сравнения на рис.3 кривой с  $k = 1$  показано сечение, полученное с самой простой параметризацией (14), когда функция фитируется только по асимптотике. В этом случае не удастся правильно описать спад сечения в зависимости от угла рассеяния. Кривая с  $k = 2$  соответствует более совершенной параметризации функциями вида (20) с двумя слагаемыми. Но и она не очень хорошо описывает спад сечения. Лучше всего это достигается параметризацией с тремя слагаемыми. Такие функции дают возможность описать внешний пик не только в асимптотике, но и в области ядерной поверхности. Видно, что для объяснения экспериментальных данных важное значение имеет правильное описание поведения одночастичных волновых функций не только на асимптотике, сколько в области ядерной поверхности. Более того, можно считать, что в конкретных реакциях однонуклонных передач решающее значение имеют лишь определенные слои пограничной области ядро-ядерного взаимодействия. Рисунок 4 носит методический характер и показывает, как может появляться "дифракционная" картина углового распределения, если, например, плавно уменьшать параметр поглощения (мнимую часть) оптического потенциала.

Итак, мы показали, что в рамках предложенного метода учета конечного радиуса взаимодействия можно достаточно хорошо описывать экспериментальные данные, при этом абсолютная величина сечения получается без каких-либо дополнительных подгонок. Можно надеяться, что теперь имеется больше оснований делать предсказательные расчеты по сравнению с тем, что позволяет делать метод искаженных волн с нулевым радиусом взаимодействия.

#### Список литературы

1. Satchler G.R. // Direct Nuclear Reaction. N.Y., 1983.
2. Fedotov S.I., Gridnev K.A., Lukyanov V.K. // Preprint JINR. E4-94-354. Dubna. 1994.
3. Fedotov S.I., Lukyanov V.K. // JINR Rap. Comm. Dubna. 4[67]-94. P.5.
4. Lukyanov V.K. // Preprint JINR. E4-94-314. Dubna. 1994.
5. Ponomarev V.Ju. // Nucl.Phys. A. 1979. V.323. P.446.  
Чепурнов В.Ф. // ЯФ. 1970. Т.6. С.955.
6. Lukynov V.K. // J.Phys.G:Nucl.Part.Phys. 1995. V.21. P.145.
7. Fernandes M.A.G. et al. // Phys.Rev. 1986. V.C33. P.1971

Рукопись поступила в издательский отдел  
30 мая 1995 года.